

Geração de Dicionários para Quantização por Planos de Bits Vetoriais

Lisandro Lovisolo e Eduardo A. B. da Silva

PEE/COPPE/DEL/EE, Universidade Federal do Rio de Janeiro

Cx. P. 68504, Rio de Janeiro, RJ, 21945-970, BRAZIL

{lisandro, eduardo}@lps.ufrj.br

Sumário— Em muitas aplicações de quantização vetorial necessitamos de dicionários compostos por vetores uniformemente distribuídos em uma hipersfera. Uma opção comum nestes casos é dada por dicionários gerados a partir de camadas de reticulados regulares. Porém, estes dicionários são limitados em relação ao número de vetores K e dimensão N . Neste artigo descrevemos um novo método para gerar dicionários deste tipo com um número K de vetores e dimensão N arbitrários. Geramos dicionários para pares (K, N) e comparamos seu desempenho no contexto de Quantização Vetorial por Aproximações Sucessivas (SA-VQ), com os dicionários formados a partir de reticulados regulares, soluções dos problemas de “covering” e “packing” na hipersfera.

Palavras Chave: compressão, codificação, quantização vetorial, projeto de dicionários, aproximações sucessivas, reticulados regulares.

1 INTRODUÇÃO

Codificação utilizando planos de bits representa o estado da arte em esquemas de compressão de imagens. O novo padrão JPEG-2000 utiliza codificação através de planos de bits[1]. Em [2, 3] o conceito de planos de bits foi generalizado para vetores através da Quantização Vetorial por Aproximações Sucessivas (SA-VQ). Com este esquema algumas melhoras no desempenho de codificadores foram obtidas. No SA-VQ um vetor X é aproximado por um vetor X_m da seguinte forma:

$$X_m = \sum_{n=1}^m \alpha^n Y_{i_n} \quad (1)$$

onde $Y_{i_n} \in C_N = \{Y_1, Y_2, \dots, Y_K\}$,
 $i_n \in \{1, 2, \dots, K\}$ e $0 < \alpha < 1$

C_N é o dicionário composto de vetores com norma unitária, K é a cardinalidade (número de vetores do dicionário) e m o número de passos utilizados no processo de quantização.

Este tipo de representação será útil somente se à medida que aumentarmos o número de passos, e portanto o número m de vetores utilizados para representar X , o erro da aproximação $e_m = \|X - X_m\|$ tender a zero. Em [2] é demonstrado que uma condição suficiente para tal é:

$$\begin{cases} \alpha \geq [2 \cos \Theta(C_N)]^{-1}, & \text{para } \Theta(C_N) \leq \frac{\pi}{4} \\ \alpha \geq \sin \Theta(C_N), & \text{para } \Theta(C_N) \geq \frac{\pi}{4} \end{cases} \quad (2)$$

onde $\Theta(C_N)$ é o ângulo máximo entre qualquer vetor no espaço \mathbb{R}^N e o vetor mais próximo do dicionário C_N .

A equação 2 nos indica uma característica que “bons” dicionários para SA-VQ devem ter. Ainda em [2] é demonstrado que o erro na representação $e_m = \|X - X_m\|$ é limitado por $e_m \leq B\alpha^m$. Da equação 2, quanto menor $\Theta(C_N)$ menor o α que garante a convergência do algoritmo SA-VQ e em consequência menor o erro. Vê-se que há uma relação entre α e o erro na representação, e por conseguinte entre $\Theta(C_N)$ e o erro.

Conclui-se então que bons dicionários deverão ter $\Theta(C_N)$ o menor possível. Temos duas maneiras de obter isto:

- 1) Aumentando o número de vetores K que compõem o dicionário C_N . Entretanto esta abordagem aumentaria a taxa $R = \frac{m \log_2 K}{N}$.
- 2) Minimizando $\Theta(C_N)$. Para isto devemos distribuir os vetores que compõem o dicionário o mais uniformemente possível sobre a superfície de uma hipersfera de dimensão N . Isto manteria K e N fixos, mantendo a mesma taxa.

Logo, projetar “bons” dicionários para SA-VQ é similar a distribuir uniformemente K pontos sobre a superfície de uma esfera de dimensão N . Para uma boa discussão sobre o conceito de uniformidade neste caso ver [4]. Este é um problema estudado há séculos [4] porém ainda sem solução geral.

Para o propósito de distribuir um número de vetores sobre a superfície da hipersfera podemos pensar em três metodologias:

- a) a algébrica [5, 6], onde utilizamos dicionários gerados a partir de reticulados que são soluções aos problemas do empacotamento ótimo de esferas ou “packing” e da cobertura ótima de esferas ou “covering”. Estes dicionários foram utilizados em [2] no contexto de codificação de imagens através de “wavelets” utilizando planos de bits. Entretanto, não há uma solução geral para o problema de distribuir K pontos numa hipersfera de dimensão N . Hardin e Sloane [6] encontraram soluções para dimensões 3, 4 e 5.
- b) a abordagem geométrica [4], na qual distribuímos os pontos sobre a superfície da esfera utilizando considerações geométricas. Em [4] boas soluções assintóticas para dimensão 3 foram encontradas, porém não há uma metodologia válida para uma dimensão N qualquer.
- c) o método estocástico, onde utilizamos um algoritmo tipo LBG [7] para gerar o dicionário desejado. O conjunto de treinamento utilizado é composto de vetores cujas componentes são variáveis aleatórias Gaussianas identicamente distribuídas (IIDG). Como neste caso a função densidade de probabilidade depende só do módulo, normalizando os vetores geramos um conjunto de treinamento cuja função densidade de probabilidade é uniformemente distribuída na superfície da hipersfera. Esta abordagem é em teoria capaz de gerar bons dicionários para qualquer dimensão N . Porém o tamanho do conjunto de treinamento (CT) tem que ser bastante grande até mesmo para valores moderados da dimensão N e do número de vetores K do dicionário final. Isto requer, portanto, uma grande carga computacional o que torna esta abordagem impraticável.

Neste artigo propomos um método que utiliza características tanto do método geométrico quanto do estocástico. Projetamos dicionários iniciais e conjuntos de treinamento através de um método geométrico aproximado e os aplicamos no algoritmo LBG de maneira a melhorar o dicionário inicial. O método geométrico utilizado é descrito a seguir.

2 O MÉTODO PROPOSTO

Nesta parte apresentamos o método desenvolvido. Primeiro introduzimos o método geométrico proposto (GM) baseado em argumentos heurísticos e aproximações que são assintoticamente válidas. Este procedimento será utilizado para gerar dicionários iniciais (DI) e conjuntos de treinamento (CT) que serão aplicados no algoritmo LBG. Na segunda parte desta seção apresentamos as melhorias obtidas com o algoritmo LBG comparando o método combinado proposto ao método estocástico puro de forma a verificar a sua validade.

2.1 O Método Geométrico

Primeiro devemos considerar a representação de um ponto no \mathbb{R}^N sobre a superfície de uma hipersfera de dimensão N e raio unitário em coordenadas esféricas. Estas são dadas por:

$$p = \{1, \omega_1, \omega_2, \dots, \omega_{N-1}\}$$

$$\text{onde } 0 \leq \omega_i \leq \pi \text{ para } i \in \{1, \dots, N-2\} \quad (3)$$

$$\text{e } 0 \leq \omega_{N-1} \leq 2\pi$$

Podemos obter as coordenadas cartesianas do ponto a partir das esféricas através da transformação:

$$\begin{aligned} x_1 &= \sin \omega_1 \\ x_2 &= \sin \omega_1 \sin \omega_2 \\ &\vdots \\ x_{N-1} &= \sin \omega_1 \sin \omega_2 \dots \sin \omega_{N-1} \\ x_N &= \sin \omega_1 \sin \omega_2 \dots \sin \omega_{N-2} \cos \omega_{N-1} \end{aligned} \quad (4)$$

Dada a representação em coordenadas esféricas, o algoritmo proposto se baseia na suposição de que quando o número de vetores K é grande, eles definem uma partição da superfície da hipersfera de dimensão N em hipercubos idênticos de dimensão $N-1$. Considerando que cada hipercubo de lado δ é definido por pequenas variações dos ângulos $\Delta\omega_1, \Delta\omega_2, \dots, \Delta\omega_{N-1}$, temos que:

$$\delta = \Delta\omega_1$$

$$\delta = \Delta\omega_j \prod_{i=1}^{j-1} \sin \omega_i, \quad j = 2, \dots, N-1 \quad (5)$$

Dado um ponto $\omega_1, \dots, \omega_{N-1}$ e δ , os valores de $\Delta\omega_1, \Delta\omega_2, \dots, \Delta\omega_{N-1}$ seguem das equação 5. Através dos $\Delta\omega_i$ podemos distribuir pontos na superfície da esfera e a partir da equação 4 achar os pontos em coordenadas cartesianas. Então temos o algoritmo para alocação dos pontos a seguir:

```

compute  $\Delta\omega_1$  usando a eq. 5
for  $\omega_1 = \frac{\Delta\omega_1}{2}$  to  $\pi$  step =  $\Delta\omega_1$  do
  compute  $\Delta\omega_1$  usando a eq. 5
  for  $\omega_2 = \frac{\Delta\omega_2}{2}$  to  $\pi$  step =  $\Delta\omega_2$  do
    .
    .
  compute  $\Delta\omega_{N-1}$  usando a eq. 5
  for  $\omega_{N-1} = \frac{\Delta\omega_{N-1}}{2}$  to  $2\pi$  step =  $\Delta\omega_{N-1}$  do
    for  $i = 1 \dots N-1$  do
      compute  $x_i = \sin \omega_1 \dots \sin \omega_{i-1} \sin \omega_i$ 
      compute  $x_N = \sin \omega_1 \dots \sin \omega_{N-2} \cos \omega_{N-1}$ 

```

O valor de δ é calculado considerando que se os K hipercubos, cada um de área δ^{N-1} , fornecem uma partição da superfície da hipersfera, então:

$$A_N = K \delta^{N-1} \quad (6)$$

A área A_N de uma hipersfera de dimensão N e raio unitário é dada por [5]:

$$A_N = \frac{N\pi^{N/2}}{(N/2)!}, \quad N \text{ par} \quad (7)$$

$$A_N = \frac{N2^N \pi^{(N-1)/2} \left(\frac{N-1}{2}\right)!}{N!}, \quad N \text{ ímpar} \quad (8)$$

Como as equações 5 e 6 são válidas só quando o número de pontos K tende a infinito, o valor de δ da equação 6 pode gerar um número de pontos $K' \neq K$. Então deveremos corrigir o valor de δ através de $\delta = \delta' \left(\frac{K'}{K}\right)^{\frac{1}{N-1}}$, e repetir este procedimento iterativamente até que $K' = K$.

O procedimento proposto (GM) é assintoticamente válido (K grande) o que o torna bom para gerar conjuntos de treinamento (CT) para o algoritmo LBG. Assim é contornado o problema da necessidade de um CT muito grande requerido pela abordagem estocástica. Verificamos que o método também é bom para gerar dicionários iniciais (DI). Na figura 1 podemos ver os ângulos entre os vetores alocados pelo método para várias cardinalidades do dicionário em dimensão 3. Vemos que o ângulo médio aproxima-se do máximo assintoticamente. Na figura 2 podemos ver os pontos gerados quando o método aloca $K=90$ pontos em dimensão $N=3$, (90,3).

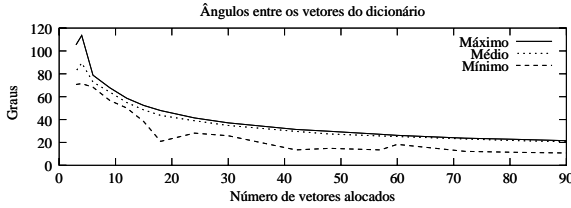


Figura 1: Ângulos máximo médio e mínimo entre os vetores alocados pelo método GM, para $N=3$.

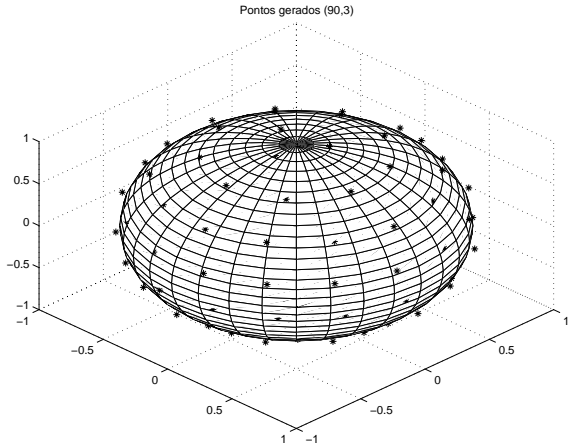


Figura 2: Pontos gerados pelo método para (90,3).

2.2 Melhorando os Dicionários

Visto que o método proposto (GM) atinge o objetivo razoavelmente para um número de vetores grande, pode-se utilizá-lo num algoritmo LBG de forma a melhorar dicionários com um pequeno número K de pontos e aumentar a uniformidade. Em nossas simulações a medida de distorção utilizada foi o erro médio quadrático. O algoritmo LBG teve que ser modificado ligeiramente pois o centróide de uma região de Voronoi[7] sobre a hipersfera não está sobre a hipersfera. Então para manter o dicionário resultante do LBG sobre a superfície da hipersfera, a cada iteração normalizamos o centróide de forma a mantê-lo sobre a superfície da mesma.

De maneira a verificar a eficiência do método proposto para gerar dicionários iniciais (DI) e conjuntos de treinamento (CT) avaliamos o desempenho de dicionários gerados pelo LBG para 4 combinações de DI e CT que são referenciadas como:

- **MM**– Dicionário inicial (DI) e conjunto de treinamento (CT) pelo GM;
- **II**– DI e CT componentes Gaussianas identicamente distribuídas (IIDG);
- **IM**– DI IIDG e CT GM;
- **MI**– DI GM e CT IIDG.

Comparou-se o desempenho em termos de número de iterações utilizadas no LBG, e os ângulos máximo, médio e mínimo entre os vetores do dicionário final. Duas coisas foram observadas:

- i) As simulações **MM** geram dicionários mais uniformes, com um menor ângulo máximo, e maiores ângulos médio e mínimo; por exemplo para $K=12$ e $N=3$ ((12,3)) e CT composto de 9600 vetores, os ângulos máximo, médio e mínimo são respectivamente: 63.28° , 63.07° , 62.64° para **MM**; 61.79° , 60.33° , 58.09° para **MI**; 63.29° , 63.01° , 62.82° para **IM** e 62.07° , 60.36° , 58.16° para **II**.
- ii) as simulações do tipo **MM** convergem mais rápido para o dicionário final. Isto pode ser observado pelo número de iterações utilizadas no LBG: o tipo **II** necessita 114% iterações a mais que o **MM**, o **IM** 20% e o **MI** 68%.

Destas observações o tipo **MM** é a melhor escolha. Observa-se ainda que a escolha do CT é mais crítica em relação à qualidade do dicionário final enquanto o DI influencia a velocidade do processo.

Podemos observar na figura 3 o processo de convergência do LBG para uma simulação do tipo **MM**, com CTs de diferentes tamanhos para um dicionário (24,4). Vemos claramente que o método possui um bom desempenho.

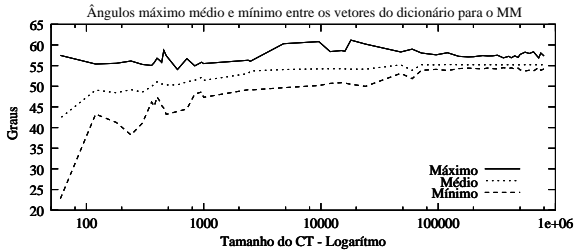


Figura 3: Ângulos máximo médio e mínimo para simulações MM para um dicionário (24,4), para diferentes números de vetores no CT.

3 DESEMPENHO DOS DICIONÁRIOS

Avaliamos os dicionários gerados no contexto do algoritmo SA-VQ, equação 1, bem como no contexto do algoritmo SA-W-VQ [8]. Na avaliação comparamos o desempenho dos dicionários gerados com os formados a partir das soluções do “covering” e do “packing”.

O conjunto de vetores a ser quantizado é formado de vetores com uma distribuição estatisticamente uniforme sobre a superfície da esfera, como descrito antes, e com módulo unitário. Cada dicionário foi avaliado através do erro médio quadrático (**mse**) após m passos. Geramos dicionários em dimensão 3, 4 e 5, e comparamos seus resultados aos dicionários extraídos de [6]. Na figura 4 comparamos o **mse** para o dicionário (24,4) de [6] com o do dicionário (24,4) gerado pelo método MM, para $\alpha \in [0.55, 0.7]$ usando 8 passos no algoritmo SA-VQ. Vê-se que o dicionário gerado possui um desempenho melhor que o de [6] para a maior parte dos valores de α .

Na tabela 1 temos a comparação de alguns dicionários extraídos de [6], soluções para os problemas do “covering” e “packing” [5] para vários K , com $N \in \{3, 4, 5\}$, com os gerados pelo método MM. O **mse** mostrado é para o α para o qual é mínimo. Para cada par (K, N) quantizamos a fonte através do SA-VQ. Vemos que o método proposto gera de forma consistente bons dicionários

Na figura 5 podemos observar a diferença de desempenho em termos de **mse** entre dicionários (24,4), o de [6] e o gerado pelo método MM, no contexto de SA-VQ. Nesta vê-se a diferença de desempenho para vários $\alpha \in [0.50, 0.90]$ e números de passos $m \in \{3 \dots 8\}$. Alguns pontos podem ser observados: i) a diferença de desempenho é muito pequena; ii) na região de melhor desempenho, $\alpha \in [0.50, 0.60]$, a diferença é nula. Com isto vê-se que os dicionários gerados são consistentes $\forall \alpha$ e $\forall m$.

De forma a verificar a validade dos dicionários gerados em aplicações que utilizam SA-VQ em esquemas mais elaborados de compressão, utilizamos os dicionários gerados no esquema de compressão de imagens “Successive Approximation Wavelet Vector Quantization” (SA-W-VQ) [8]. O SA-W-VQ codifica a transformada wavelet de uma imagem por planos

(K, N)	Geração	passos	α	mse
(12,3)	“packing”	9	0.59	0.000052
(12,3)	método	9	0.58	0.000039
(12,3)	“packing”	6	0.59	0.001331
(12,3)	“covering”	6	0.58	0.001094
(12,3)	método	6	0.58	0.001094
(15,3)	“packing”	6	0.57	0.000954
(15,3)	“covering”	6	0.56	0.000797
(15,3)	método	6	0.56	0.000797
(21,3)	“packing”	6	0.55	0.000561
(21,3)	“covering”	6	0.55	0.000562
(21,3)	método	6	0.55	0.000564
(24,4)	“packing”	6	0.59	0.001490
(24,4)	método	6	0.60	0.001625
(50,4)	“packing”	6	0.56	0.000671
(50,4)	método	6	0.50	0.000667
(64,5)	“packing”	6	0.59	0.001326
(64,5)	método	6	0.59	0.001311
(100,5)	“packing”	6	0.57	0.000867
(100,5)	método	6	0.57	0.000833

Tabela 1: Erro médio quadrático para diferentes dicionários.

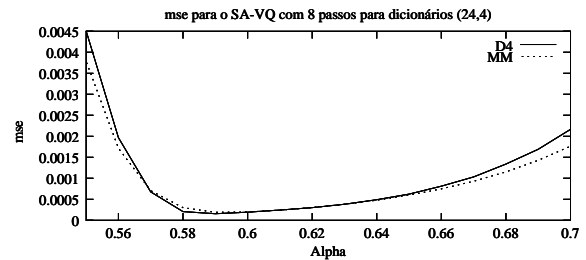


Figura 4: **mse** para o SA-VQ com 8 passos para dicionários (24,4).

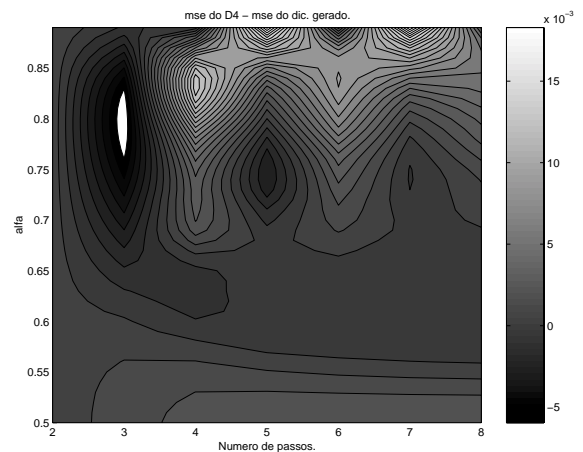


Figura 5: Diferença do **mse** entre o dicionário (24,4) de [6] e o gerado pelo método MM.

de bits vetoriais utilizando o conceito de árvores de zeros e codificação aritmética. Codificamos a imagem *Lena* a 0.5 bpp para diferentes valores de α e vários dicionários. Na tabela 2 vemos a comparação do desempenho para o dicionário formado pela primeira camada do reticulado regular D_4 , melhor “packing” conhecido em dimensão 4 (D_{4s_1}), e um dicionário gerado com os mesmos (K, N) , $((24, 4))$, pelo método proposto, simulação MM. Na figura 6 vemos o desempenho dos mesmos dicionários D_{4s_1} e MM (24,4) para a faixa de valores possíveis de α . Na figura 7, vemos o desempenho do E_{8s_1} , dicionário gerado pela primeira camada do E_8 , comparado com um dicionário gerado com os mesmo (K, N) do E_{8s_1} (MM (240,8)). Pode-se ver que obtemos desempenhos semelhantes, o que corrobora a efetividade do método proposto para a geração de dicionários com K e N arbitrários para SA-VQ.

PSNR para o SA-W-VQ (dB)			
Dicionário	α		
	0.55	0.62	0.71
D_{4s_1}	32.06	31.54	31.20
MM (24,4)	32.09	31.57	31.20
E_{8s_1}	31.46	31.72	31.22
MM (240,8)	31.02	31.62	31.16

Tabela 2: Comparação entre o PSNR (dB) para o SA-W-VQ para alguns valores de α , para o D_{4s_1} , o MM (24,4), o E_{8s_1} e o MM (240,8), para a imagem *Lena* a 0.5 bpp.

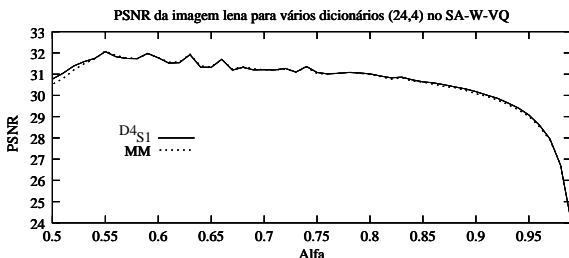


Figura 6: PSNR (db) da imagem *Lena* a 0,5 bpp para o D_{4s_1} e um dicionário com mesmo (K, N) , MM (24,4).

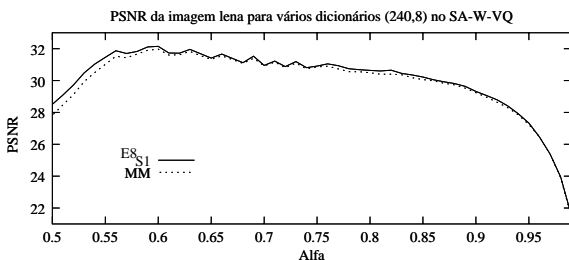


Figura 7: PSNR (db) da imagem *Lena* a 0,5 bpp para o E_{8s_1} e um dicionário com mesmo (K, N) , MM (240,8).

4 CONCLUSÕES

Um método para alocar um número arbitrário de pontos quase uniformemente na superfície de uma hipersfera foi apresentado. Nos casos em que são conhecidas soluções aos problemas do “packing” e do “covering”, vimos que o método proposto gera dicionários tão bons quanto estes. Na verdade $\Theta(C_N)$ mínimo é a solução ao problema do “covering” e os nossos dicionários obtiveram o mesmo desempenho que as soluções conhecidas para este problema em dimensão 3. Vimos também que o desempenho dos dicionários gerados quando aplicados na compressão de imagens é muito semelhante ao dos dicionários normalmente utilizados.

Concluimos então que o método proposto é capaz de gerar bons dicionários de dimensão e cardinalidade arbitrárias. Uma outra aplicação dos dicionários aqui desenvolvidos poderia ser no âmbito da geração de “Frames” [9], para utilização em representações redundantes.

REFERÊNCIAS

- [1] ISO/IEC JTC1/SC29/WG1 (ITU-T SG8), *JPEG2000 Verification Model 5.3*, Technical description, JBIG JPEG, November 1999.
- [2] CRAIZER, M., da SILVA, E. A. B., RAMOS, E. G., “Convergent Algorithms for Successive Approximation Vector Quantization and Applications to Wavelet Image Compression”, *IEE Proceedings - Vision, Image Signal Processing*, v. 146, n. 3, pp. 159–164, June 1999.
- [3] da SILVA, E. A. B., CRAIZER, M., “Generalized Bit-Planes for Embedded Codes”. *IEEE International Conference on Image Processing*, IEEE, Chicago, September 1998.
- [4] SAFF, E. B., KUIJLAARS, A. B. J., “Distributing Many Points on a Sphere”, *The Mathematical Intelligencer*, v. 19, n. 1, pp. 5–11, 1997.
- [5] CONWAY, J., SLOANE, N., *Sphere Packings Lattices and Groups*, A Series of Comprehensive Studies in Mathematics. 2 ed. New York, New York 10010, USA, Springer Verlag, 1993.
- [6] NEIL J. A. SLOANE, R. H. HARDIN, W. D. S., “Neil J. A. Sloane: Home Page”, <http://www.research.att.com/~njas/>, February 2000, And Subpages on Covering and Packing.
- [7] GERSHO, A., GRAY, R. M., *Vector Quantization And Signal Compression*, Engineering and Computer Science. 1 ed. Boston/Dordrecht/London, Kluwer Academic Publishers, 1992.
- [8] da SILVA, E. A. B., SAMPSON, D. G., GHANBARI, M., “A Successive Approximation Vector Quantizer for Wavelet Transform Image Coding”, *IEEE Transactions on Image Processing, Special Issue on Vector Quantization*, v. 5, n. 2, pp. 299–310, February 1996.
- [9] GOYAL, V. K., VETTERLI, M., THAO, N. T., “Quantized Overcomplete Expansions in \mathbb{R}^N : Analysis, Synthesis, and Algorithms”, *IEEE Transactions on Information Theory*, v. 44, n. 1, pp. 16–31, January 1998.